5. Электрокатализ – окисление мочевины

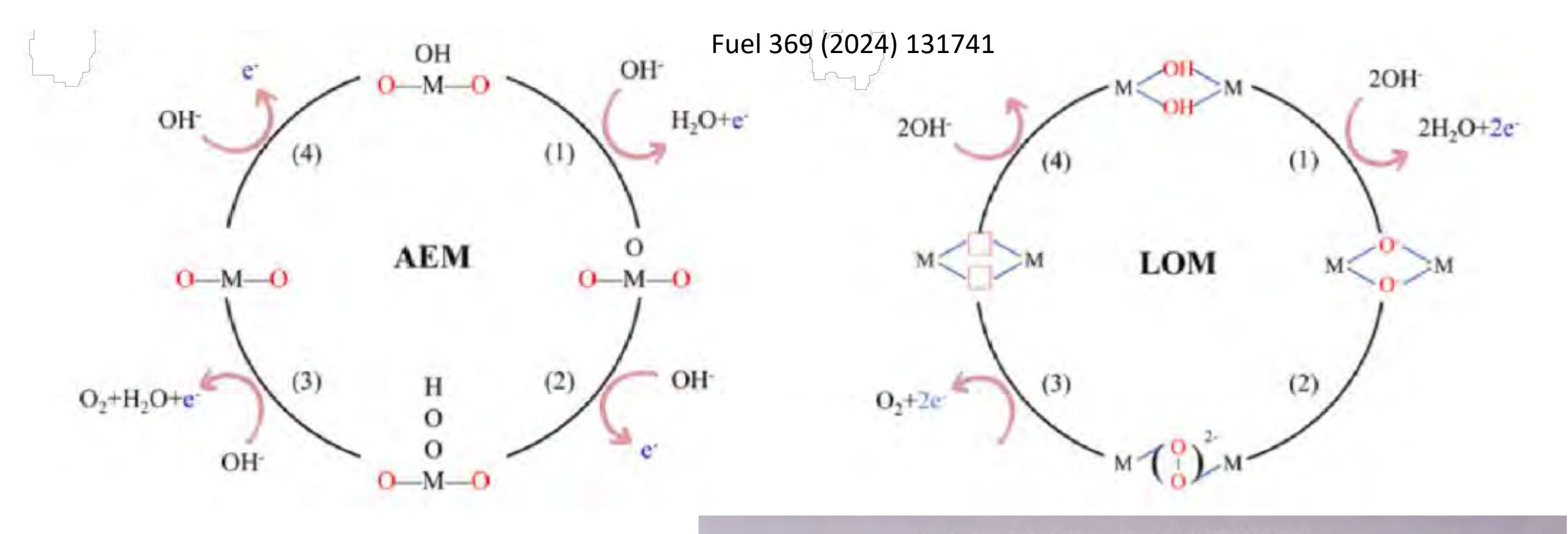
Выделение кислорода на оксидах и окисленных металлах

Оксидно-никелевый электрод – выделение кислорода и окисление органики

Стадийные схемы окисления мочевины

Попытки создания мочевинных топливных элементов

OER: cxeмы <мexaнизмы> adsorbate evolution (AEM) и lattice oxygen oxidation (LOM)



Доклады АН СССР 111 (1956) 637-639

<Ag: Ж. физ. хим. 35 (1961) 2670-2675>

К. И. РОЗЕНТАЛЬ И В. И. ВЕСЕЛОВСКИЙ

ИЗУЧЕНИЕ МЕХАНИЗМА ЭЛЕКТРОХИМИЧЕСКОГО ВЫДЕЛЕНИЯ КИСЛОРОДА НА ПЛАТИНОВОМ ЭЛЕКТРОДЕ С ПОМОЩЬЮ ИЗОТОПА КИСЛОРОДА О¹⁸ < ИЗОТОП В ОКСИДЕ>

 $Pt-PtO[O] + H_2O = Pt-PtO + O_2 + 2H^+ + 2e$

OER: механизм на платине

Критерии для выбора из 14(!) возможных стадийных схем



Diagnostic criteria	Anodic	Cathodic		
	acid	alkaline	acid	alkaline
<u>∂η</u> ∂ ln <i>i</i>	2RT/F6,19,25-28,40,41	$RT/F^{7,10}$ at low η $2RT/F$ at high η	2RT/F*,19	
$\frac{\partial \eta}{\partial pH}$	30° mV	-110 mV at high η -65 mV at low η	0	-30 mV
$\left(\frac{\partial \ln i}{\partial \ln p_{\mathbf{O_2}}}\right)_{\eta}$	0-14	0.22	ca 0·30	ca 0-24
ν	~3.68	~27		
	~3·6 ⁶ ~3·5	~1.8		

- Изменение состояния электрода



Два тафелевских участка

- Переход к другой стадийной схеме
- Изменение природы медленной стадии
- Изменение заполнения поверхности интермедиатом

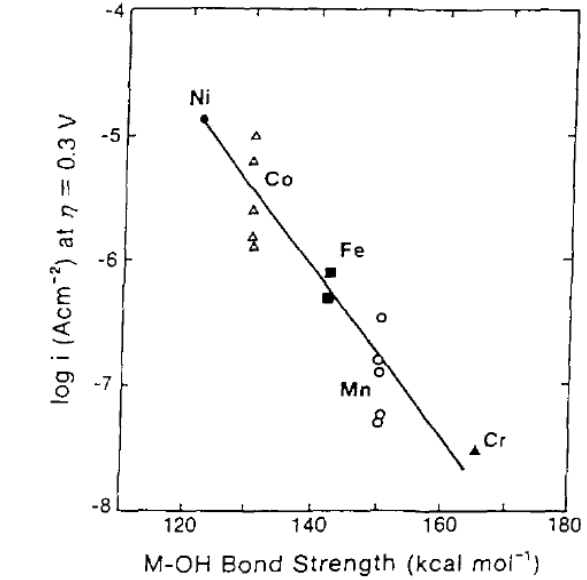
Electrochim. Acta 11 (1966) 791-814; J. Chem. Phys. 24 (1956) 817-827

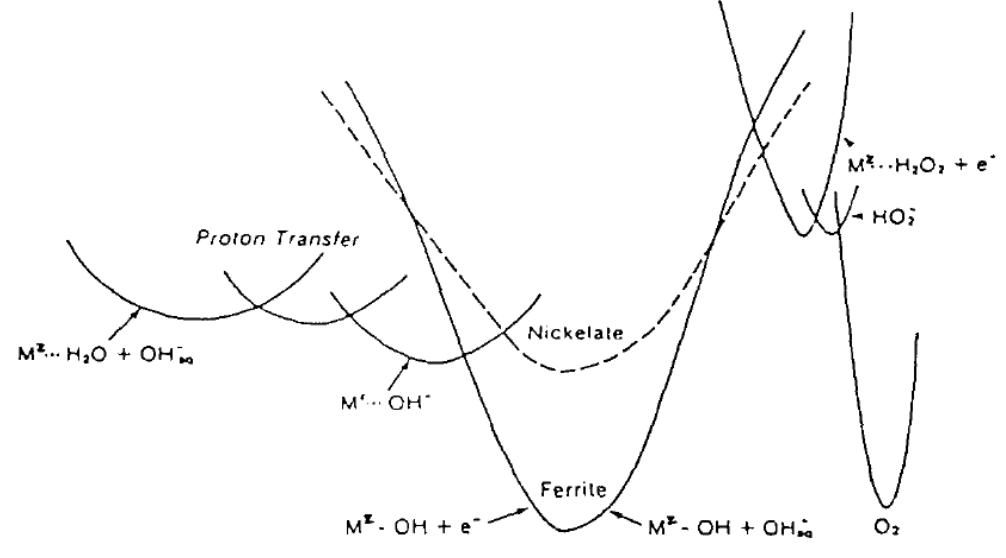
OER, перовскиты

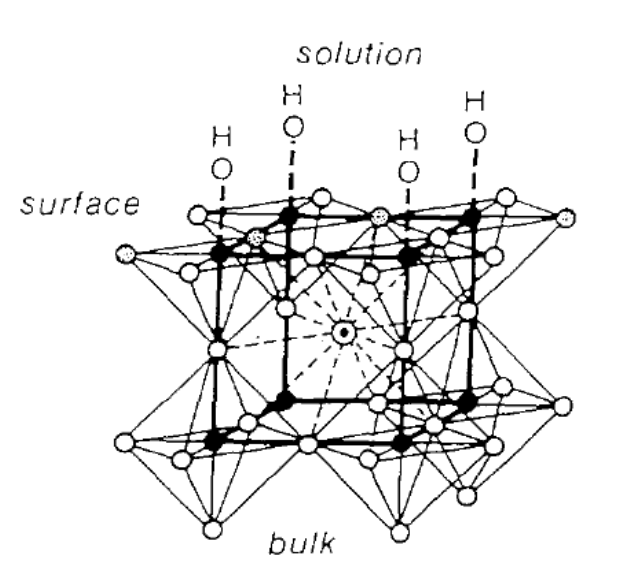
Langmuir

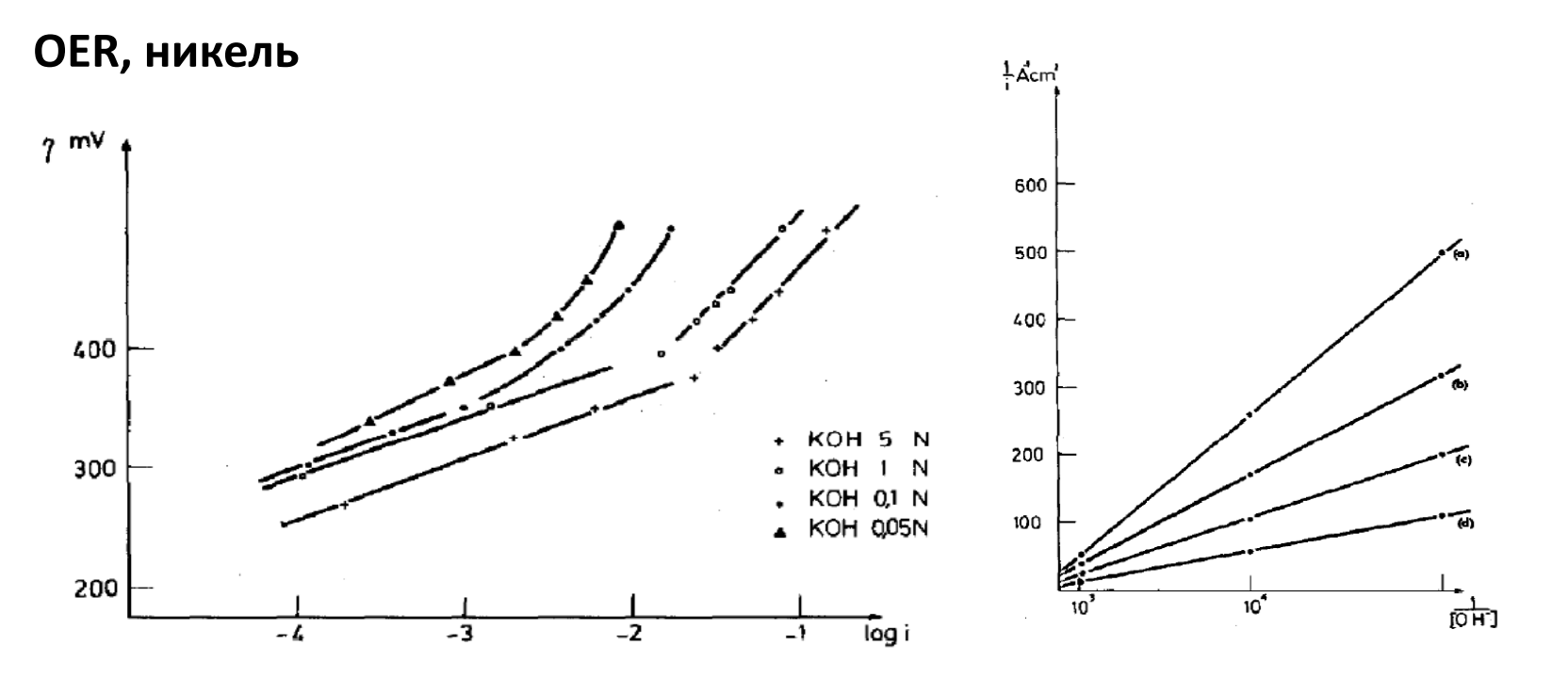
(ð ln i/

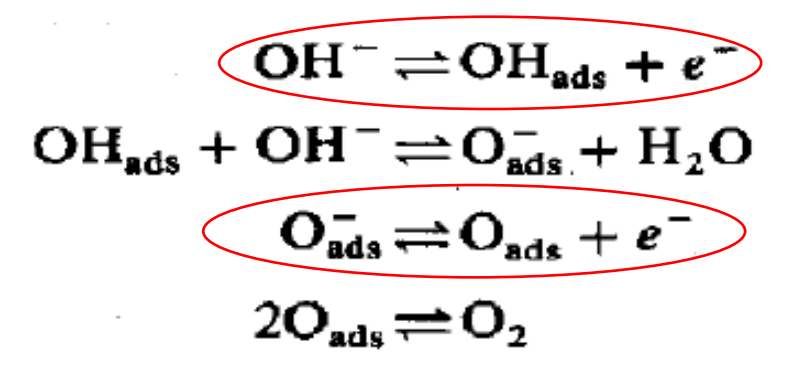
nt. J. Hydrogen Energy 17 (1992) 423-444				ð ln Cour)u r ^c		Temkin			
		$\partial V/\partial \ln i$		$\frac{C_{\text{OH}^-})_{V,\xi}^{\text{c}}}{\theta \to \theta \to}$		∂V/∂ ln i			
rate-determining step	μ^b	$o \rightarrow 0$	$\theta \rightarrow 1$.0	1	NAd	Ae	NAª Ae	condition
		(I) Bockr	is's Oxide	e Path					
1. M + OH ⁻ → MOH + e ⁻	4	2RT/F		1					
2. $2MOH \rightarrow MO + M + H_1O$	2	RT/2F	90	2	0			$r_{OH} \sim r_{O}$ $r_{OH} >> r$	
3. $2MO \rightarrow 2M + O_2$	1	RT/4F	∞	4	0	RT/2F RT/4F	RT/F RT/3F	2 1 2 1	$K_2 \sim 1$ $K_3 << 1$
	(II)	Bockris's I	Electroch	emical	Path				
1. M + OH ⁻ \rightarrow MOH + e ⁻	`2´	2RT/F		1					
2. $MOH + OH^- \rightarrow MO + H_2O + e^-$	2	2RT/3F	2RT/F	2	1	2 <i>R</i> <i>R T</i>	T/F	1 1.5	rон ~ rо
3. $2MO \rightarrow 2M + O_2$	1	RT/4F	50	4	0	RT/2F RT/4F	RT/F RT/3F	2 1 4 3	$r_{OH} >> r$ $K_1 \sim 1$ $K_2 << 1$
T			1						





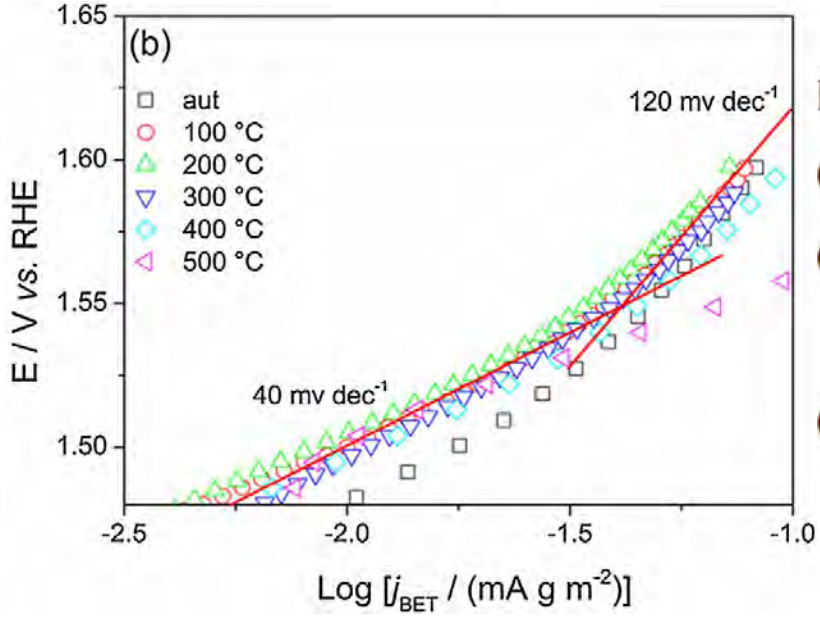


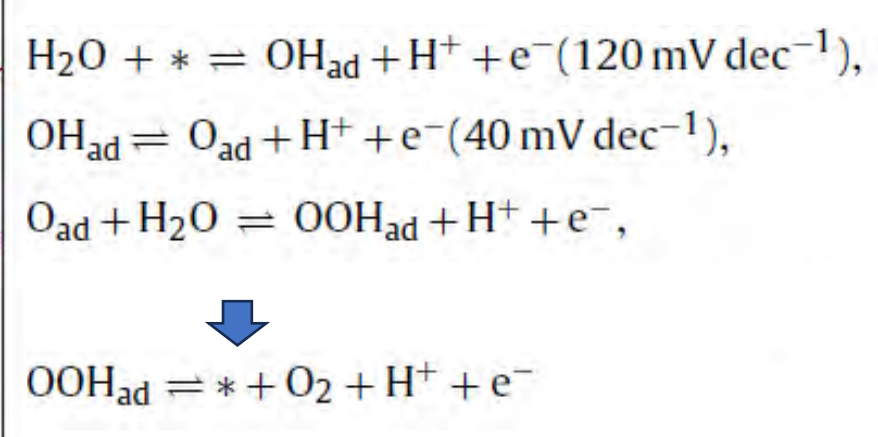




Electrochim. Acta 25 (1980) 973-976

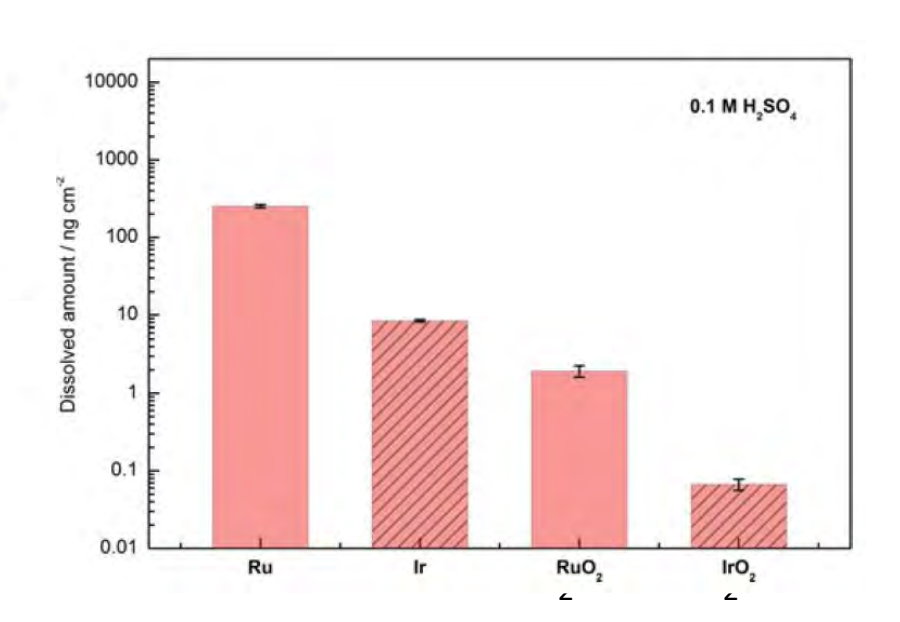
OER, иридий и рутений



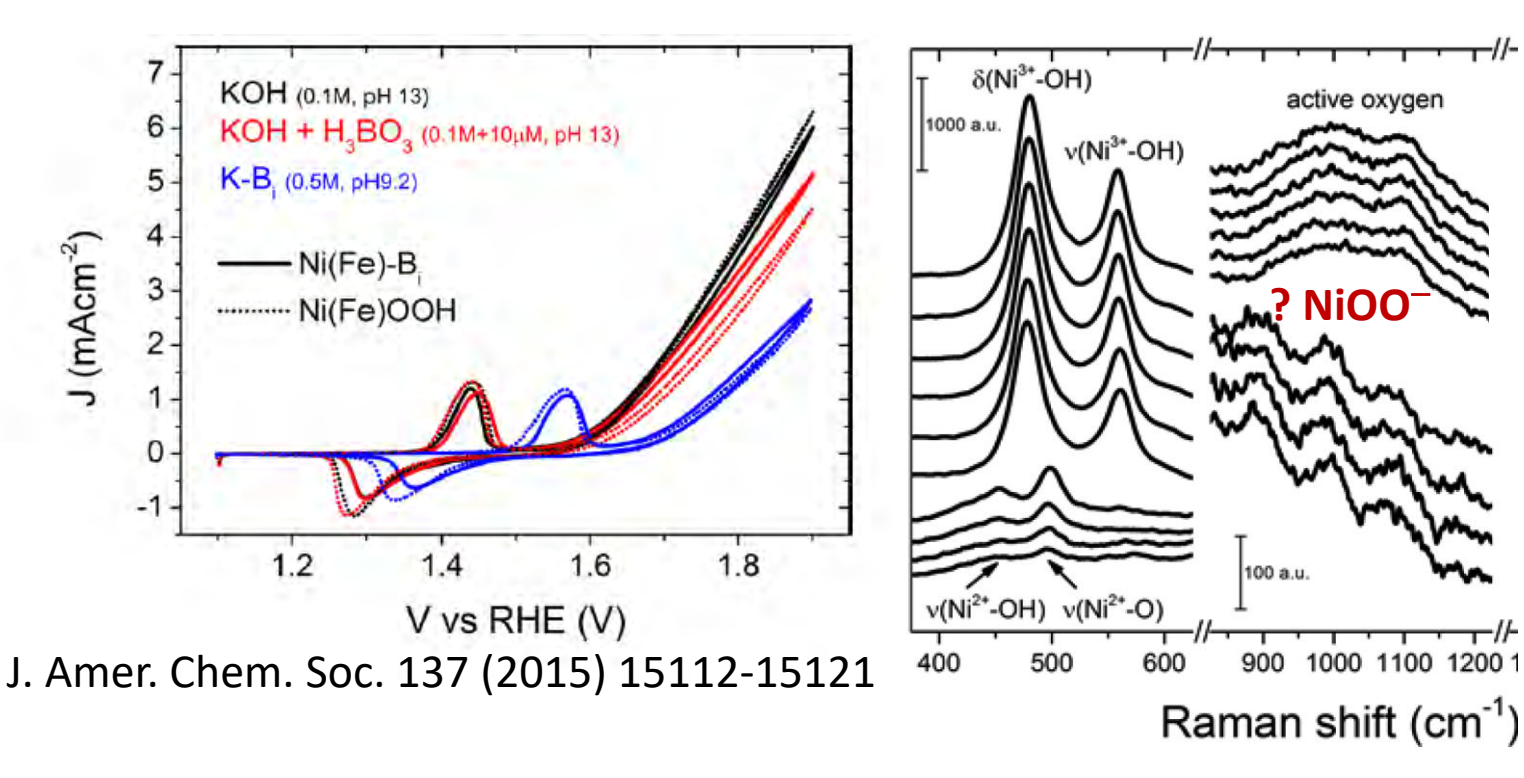


Appl. Catal. B 218 (2017) 287-297

Catal. Today 262 (2016) 170-180



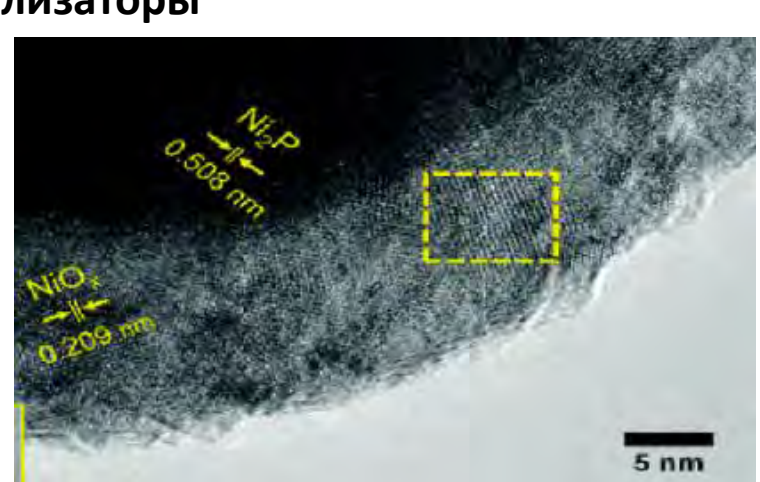
OER, катализаторы: метагидроксид и борат (B_i) Ni/Fe на подложке FTO – 'active oxygen' интермедиат

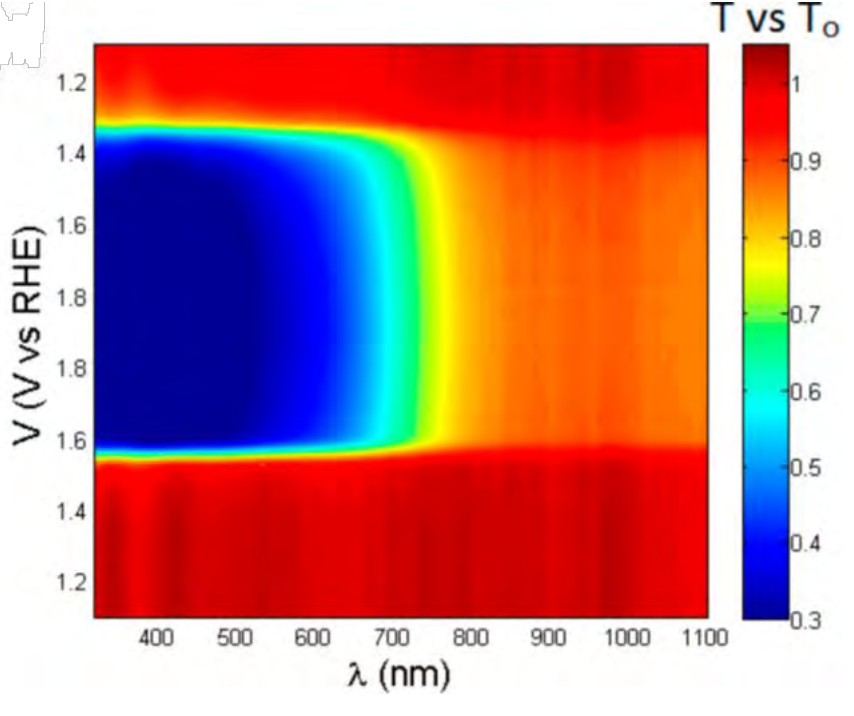


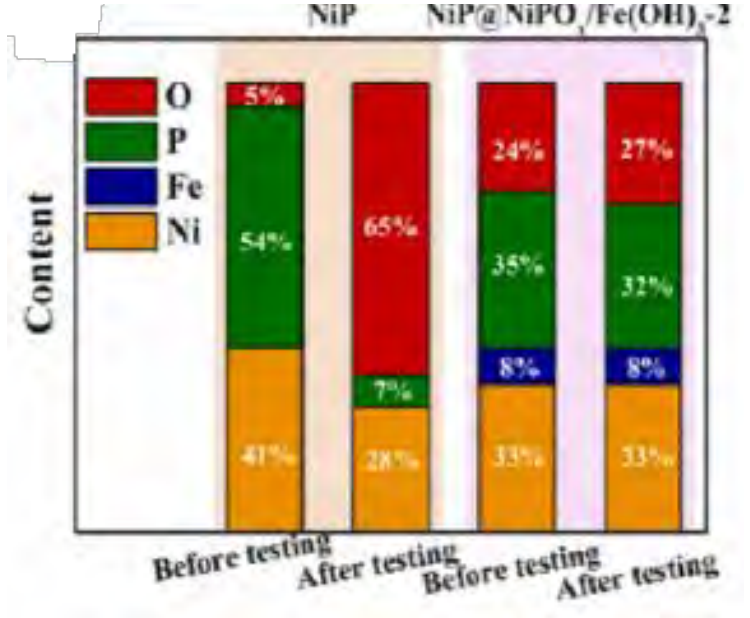
OER, другие Ni-содержащие катализаторы

Фосфиды переходных металлов (как и все кроме оксидов) в поверхностном слое становятся оксидами

Fuel 369 (2024) 131741







Окисление органики на никеле

0.87 M KOH

0.4

Potential vs. HgO/Hg

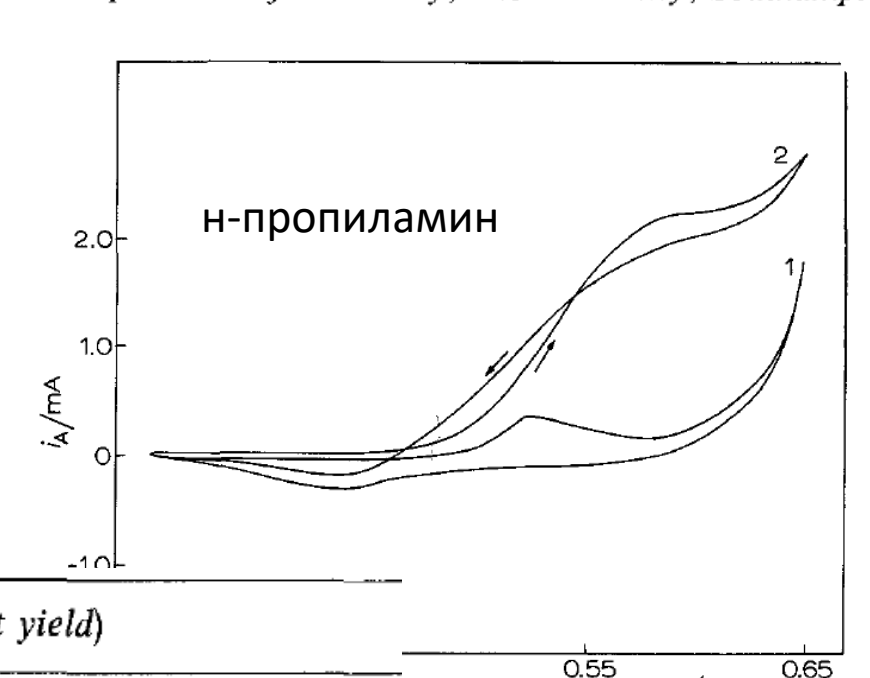
THE OXIDATION OF ORGANIC COMPOUNDS AT A NICKEL ANODE IN ALKALINE SOLUTION

J. Electroanal. Chem. 31 (1979) 39-49

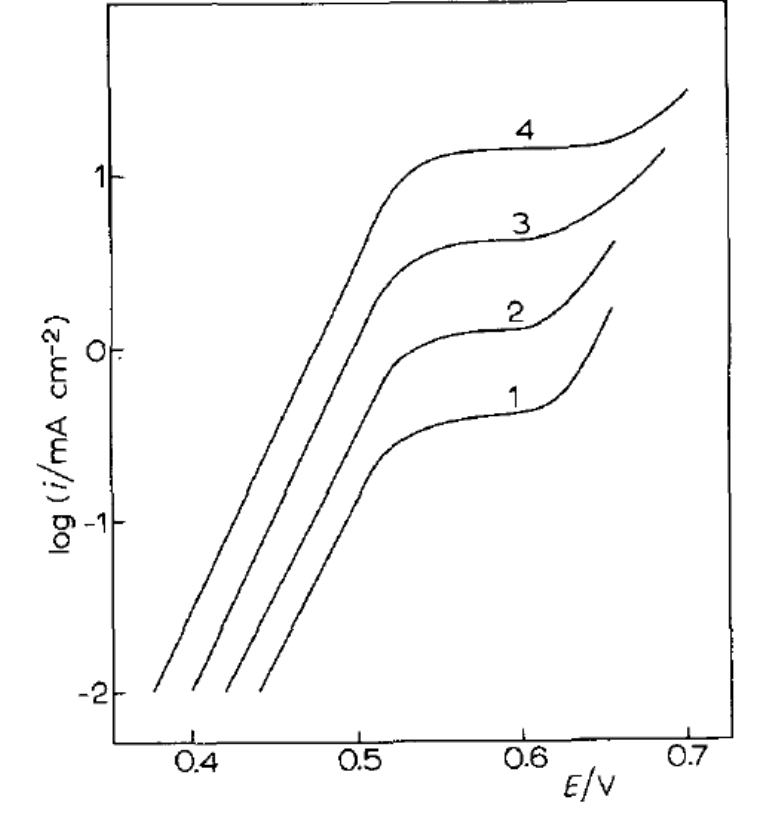


Department of Chemistry, The University, Southampton (England)

E/V



н-бутиламин, разные концентрации



n-propylamine

Substrate

n-butylamine isopropylamine diethylamine

ethanol propanol

0.5

k//mA

-0.5

isopropanol

pyrrolidine

Product (% current yield)

acetic acid (98)

trimer of 1-pyrroline

acetone (90)

0.6

E/V

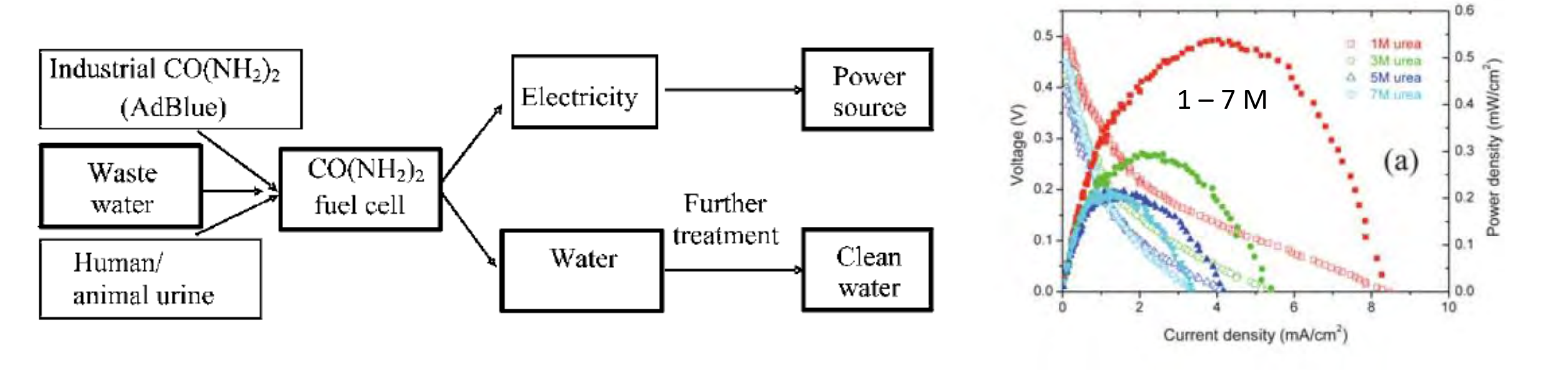
ethyl cyanide (84), propionaldehyde (11) propyl cyanide (85), n-butyraldehyde (6) acetone (80) acetonitrile (40)

 $Ni(OH)_2 \longrightarrow NiO(OH) + e + H^+$

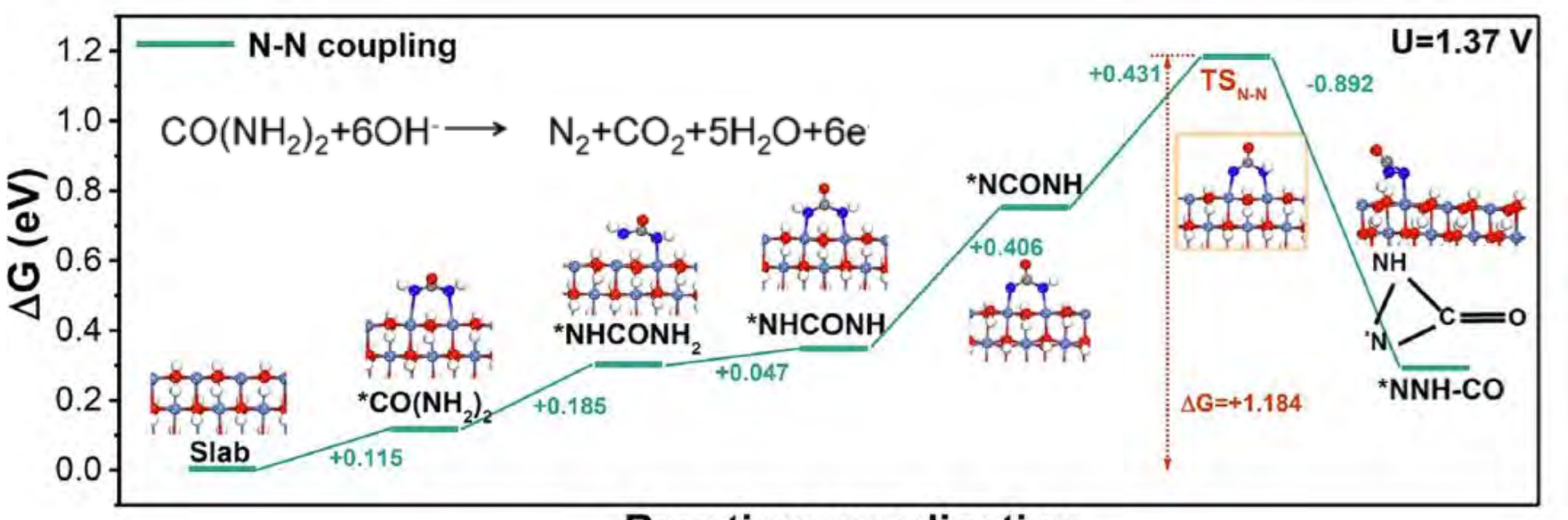
 $NiO(OH) + organic compound \longrightarrow Ni(OH)_2 + product$

A direct urea fuel cell – power from fertiliser and waste†

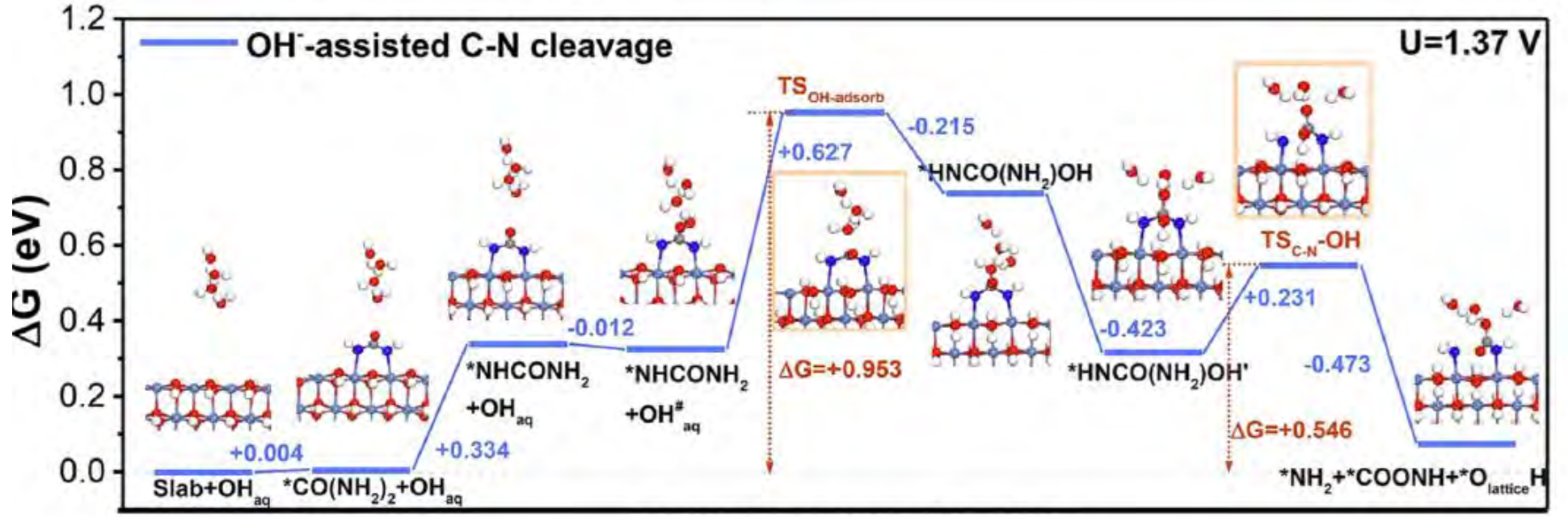
Rong Lan,^a Shanwen Tao *a and John T. S. Irvine^b



$$O_2 + 2H_2O + 4e' \rightarrow 4OH^-$$
 (cathode reaction) $E^0 = +0.40V$
 $CO(NH_2)_2 + 6OH^- \rightarrow N_2 + CO_2 + 5H_2O + 6e'$ (anode reaction) $E^0 = -0.746V$
 $2CO(NH_2)_2 + 3O_2 \rightarrow 2N_2 + 2CO_2 + 4H_2O$ (overall reaction) $E^0 = +1.146V$

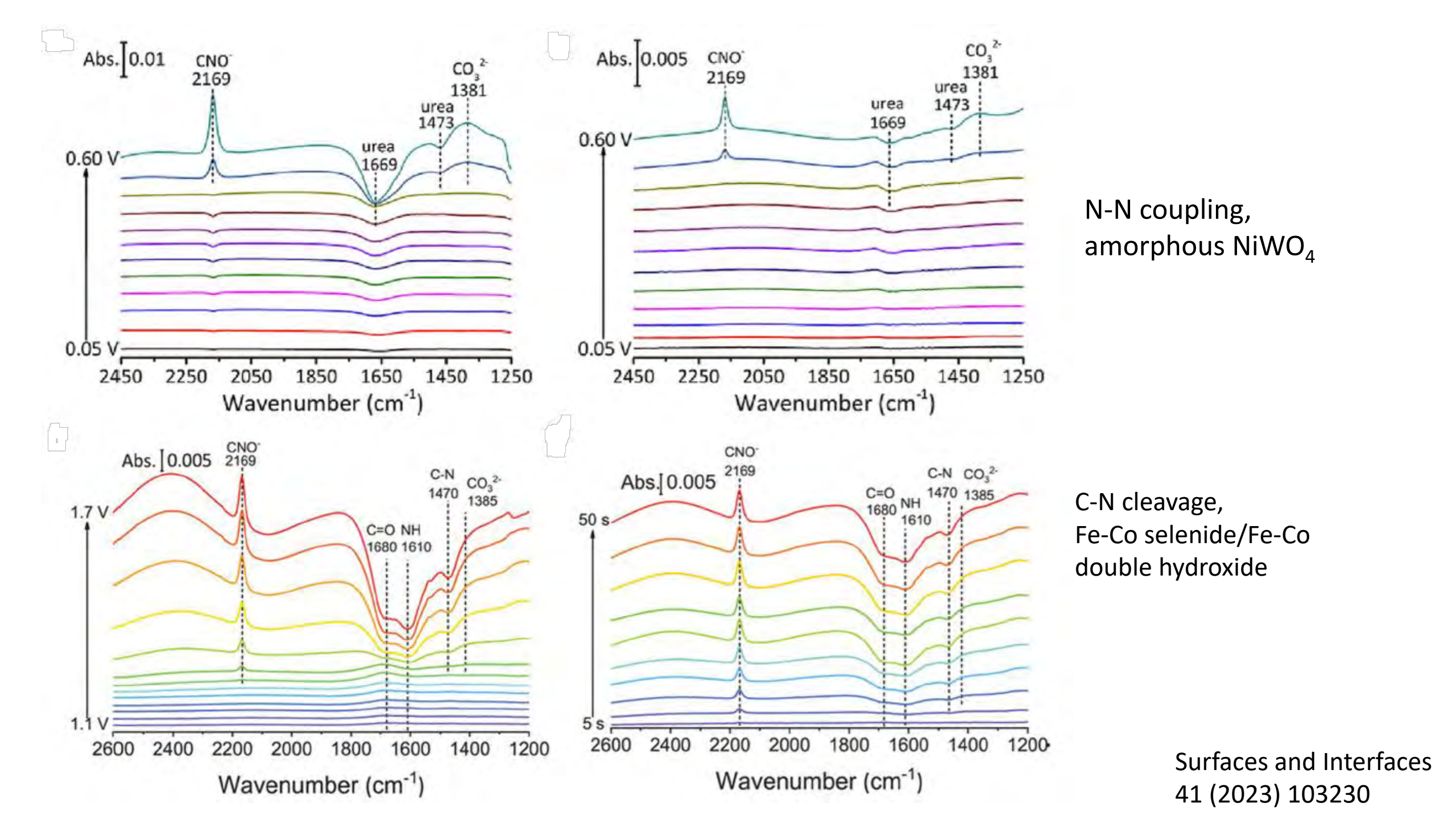


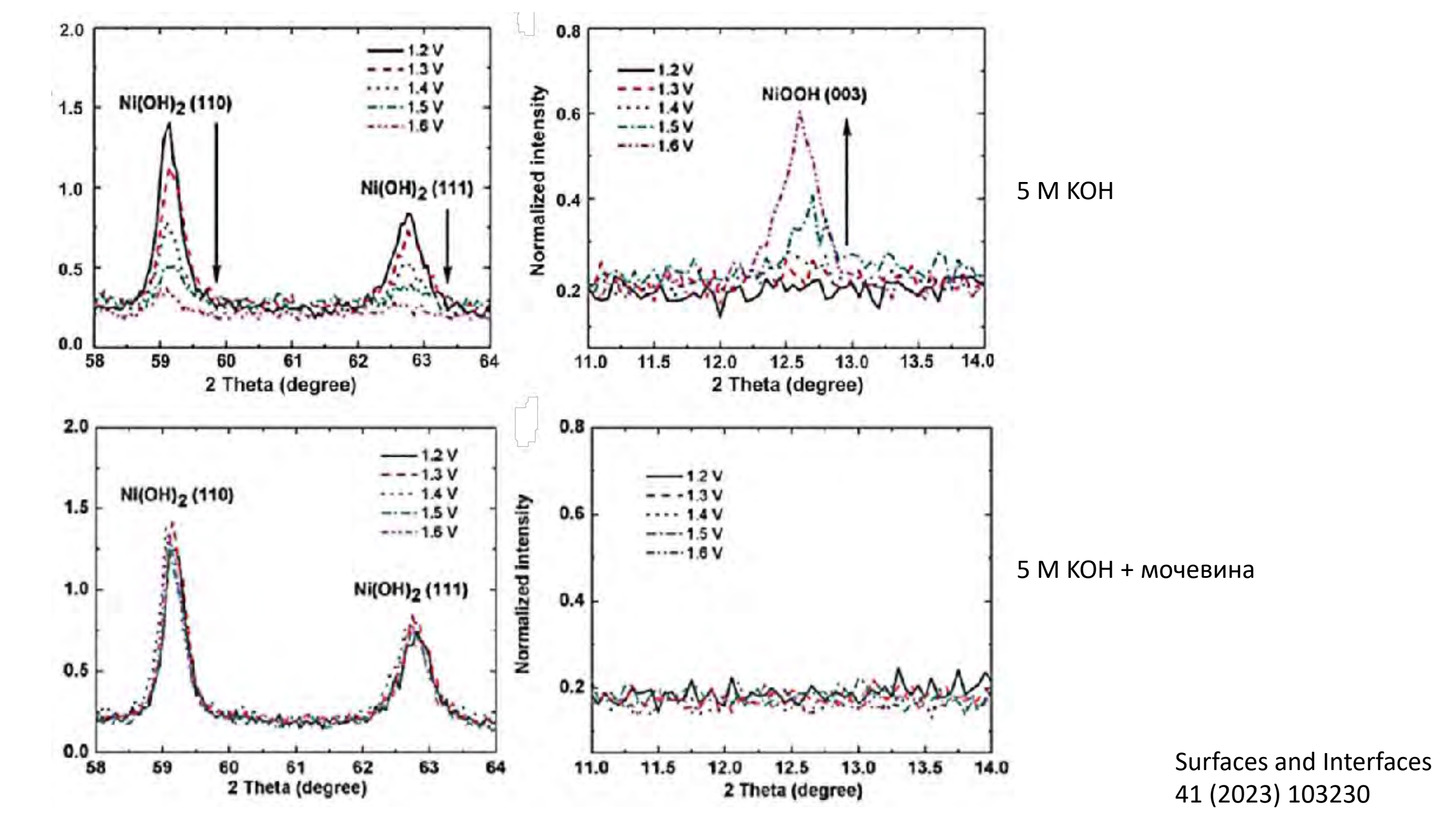
Reaction coordination

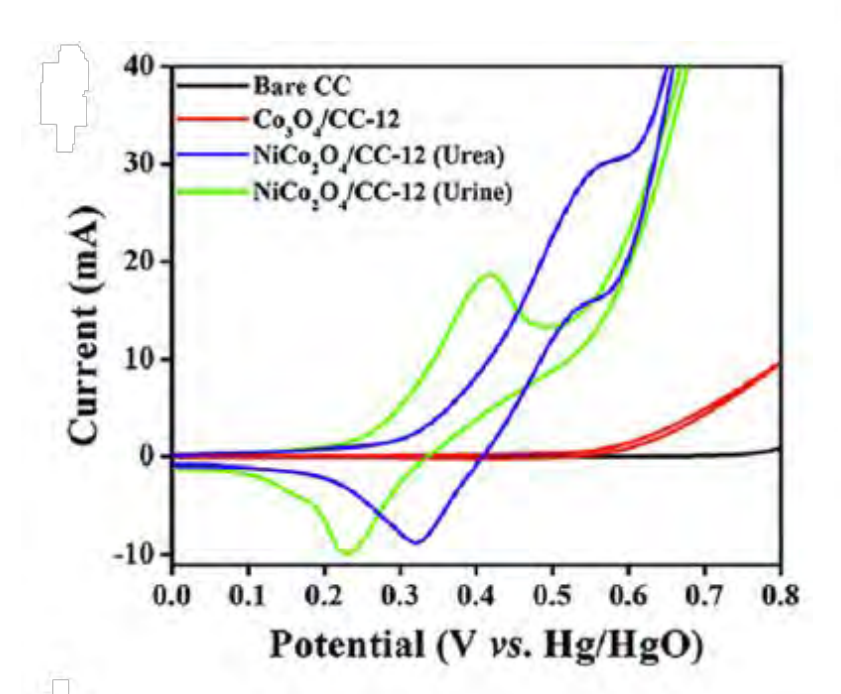


Reaction coordination

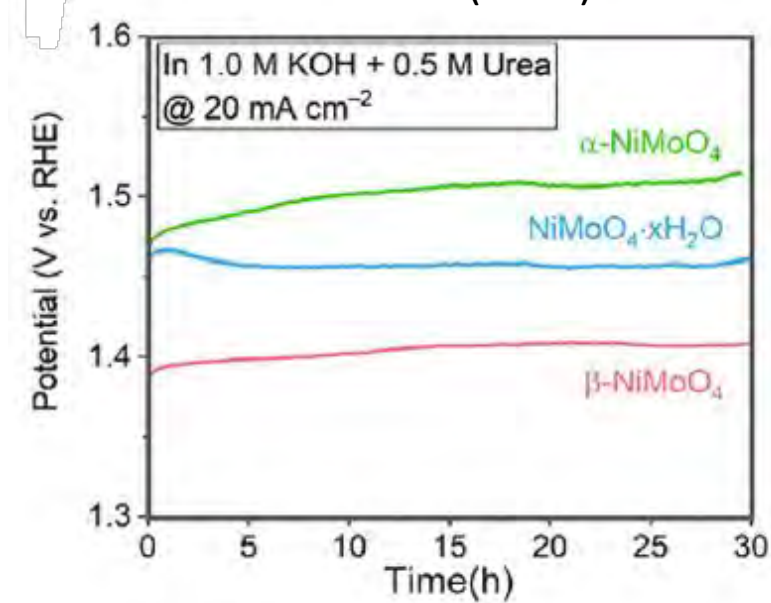
Surfaces and Interfaces 41 (2023) 103230

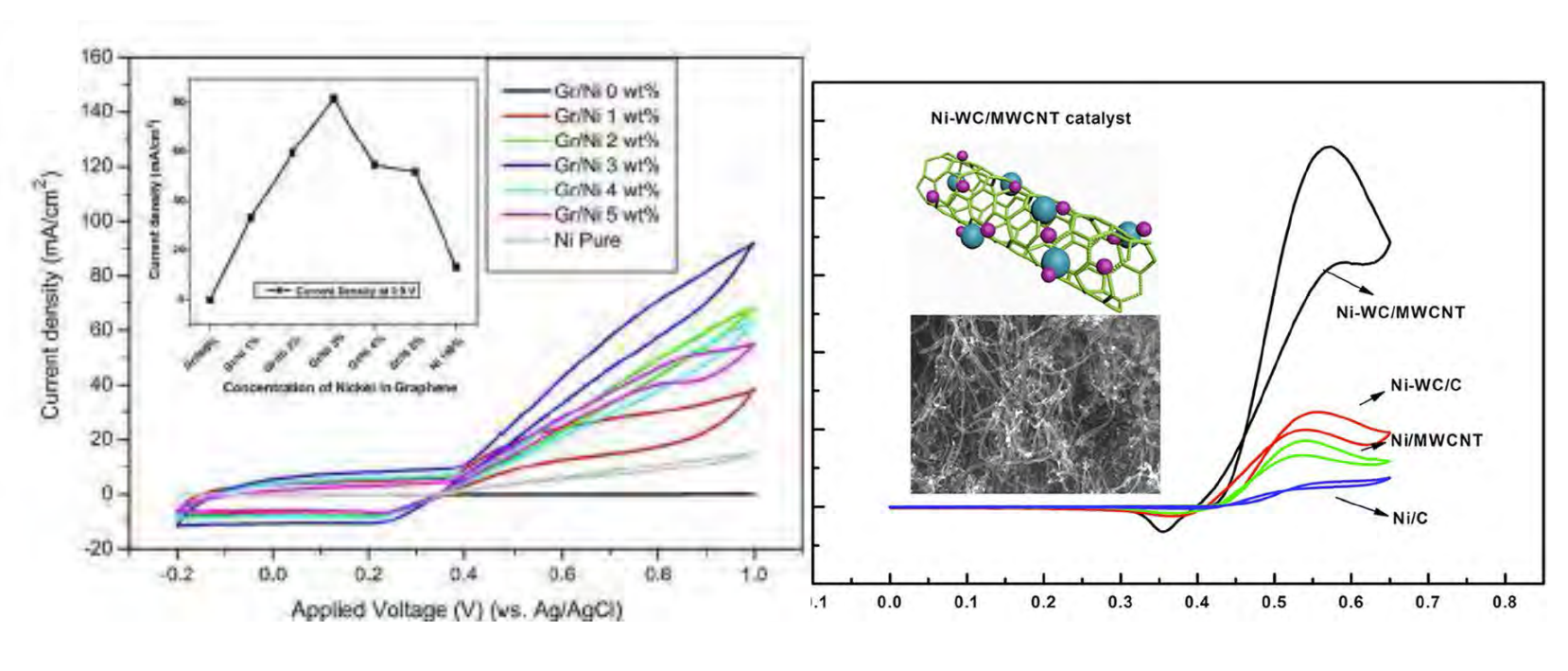


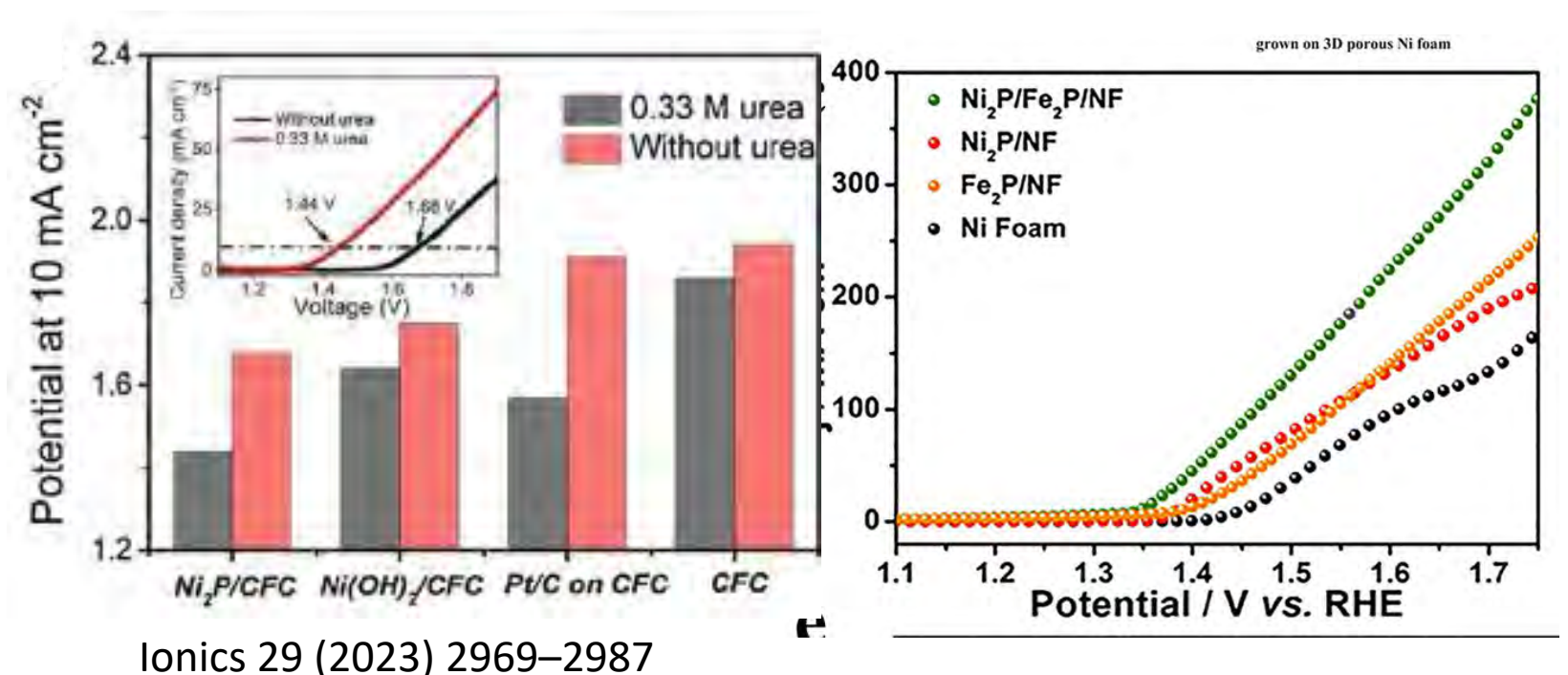




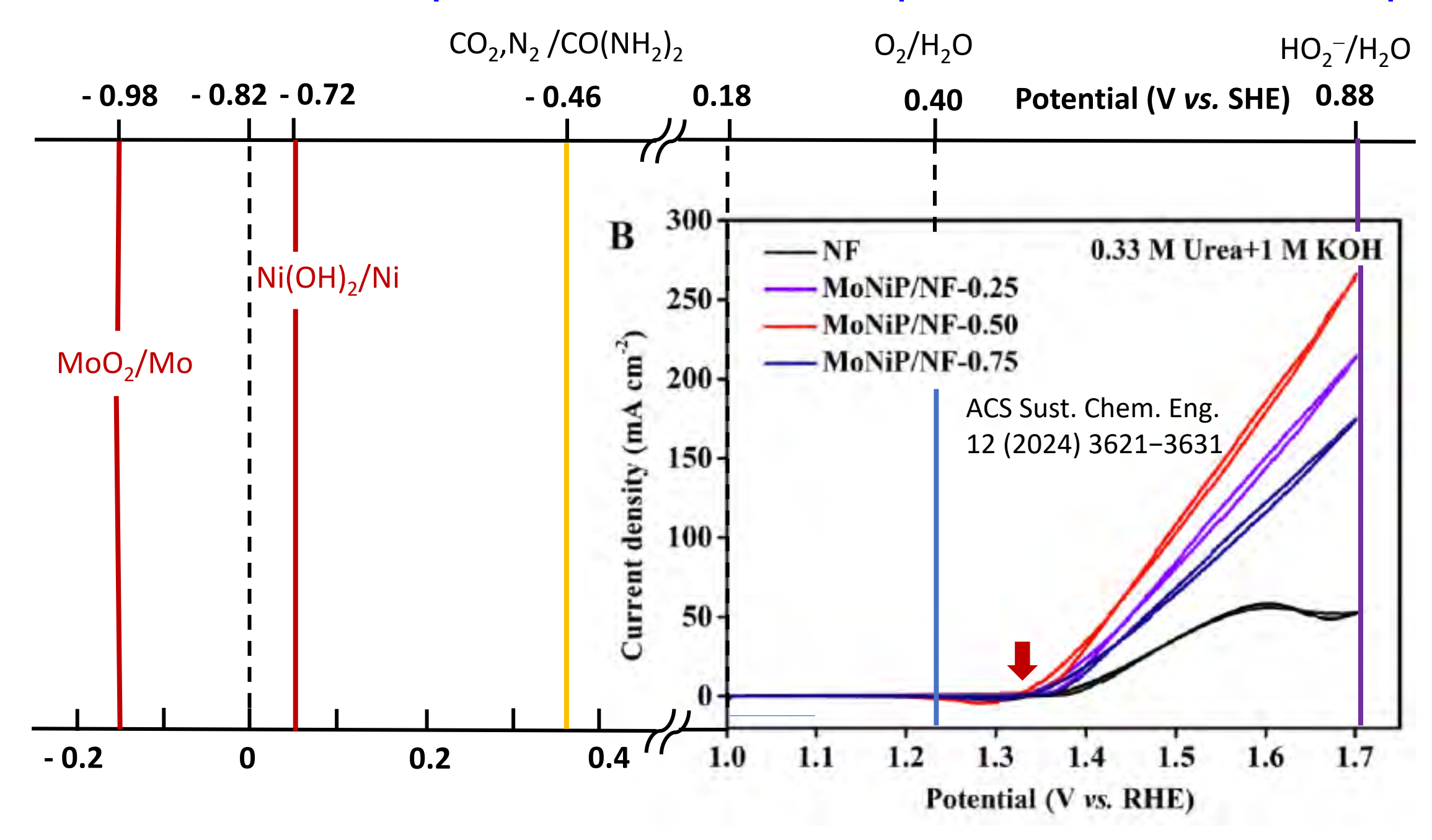
Surfaces and Interfaces 41 (2023) 103230

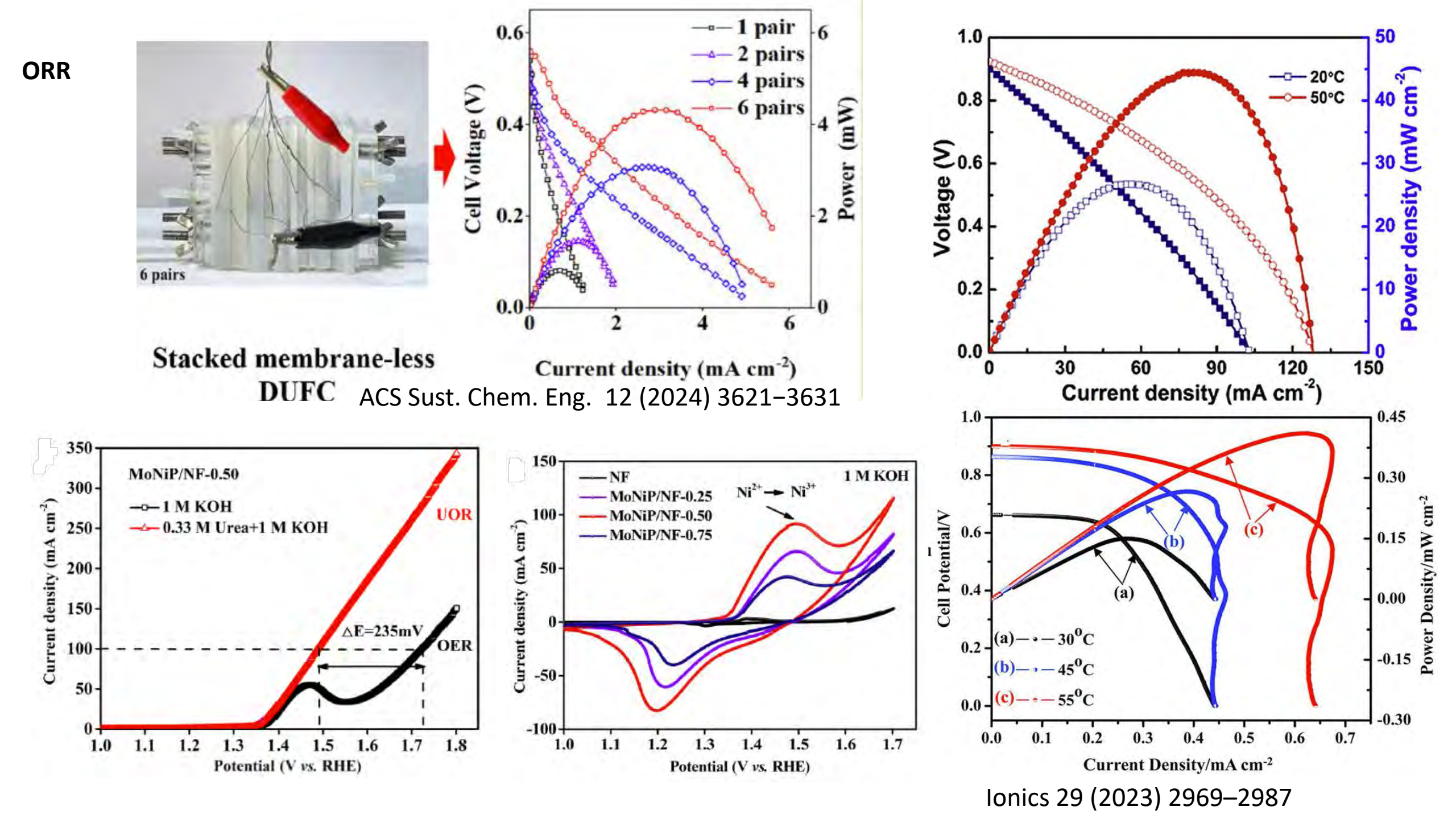




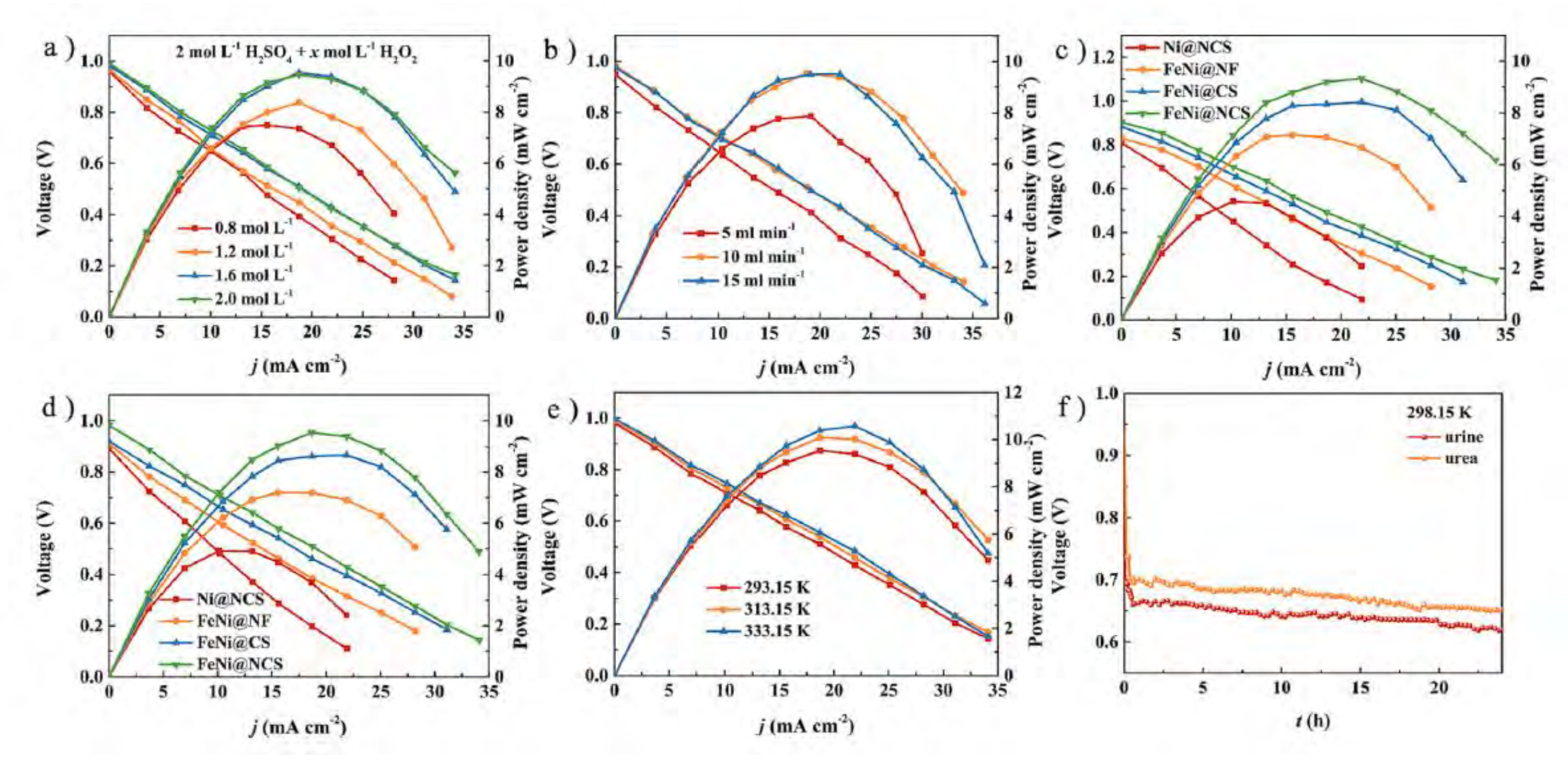


Окисление метанола и вообще органики: типичная ошибка при «поиске новых катализаторов»

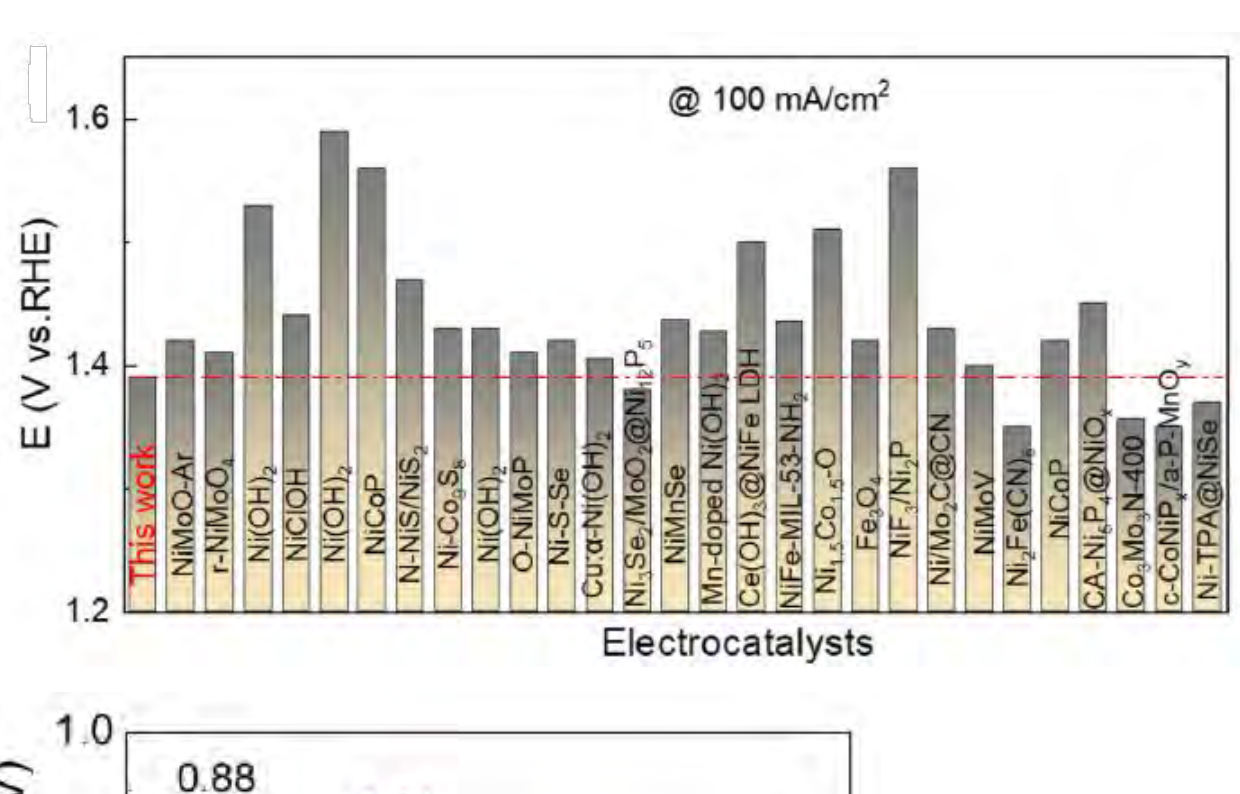


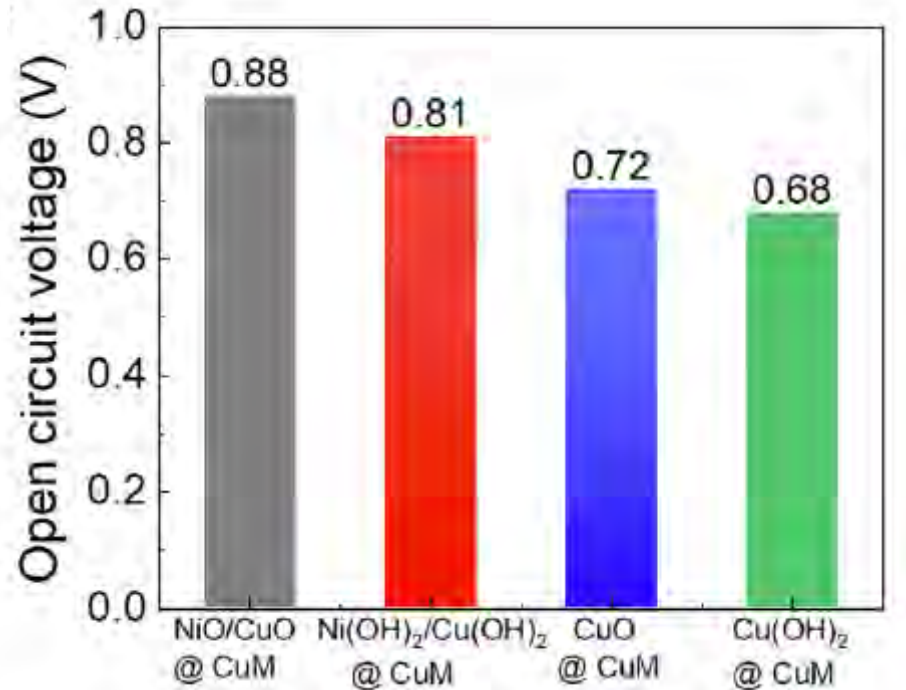


Окислитель - перекись

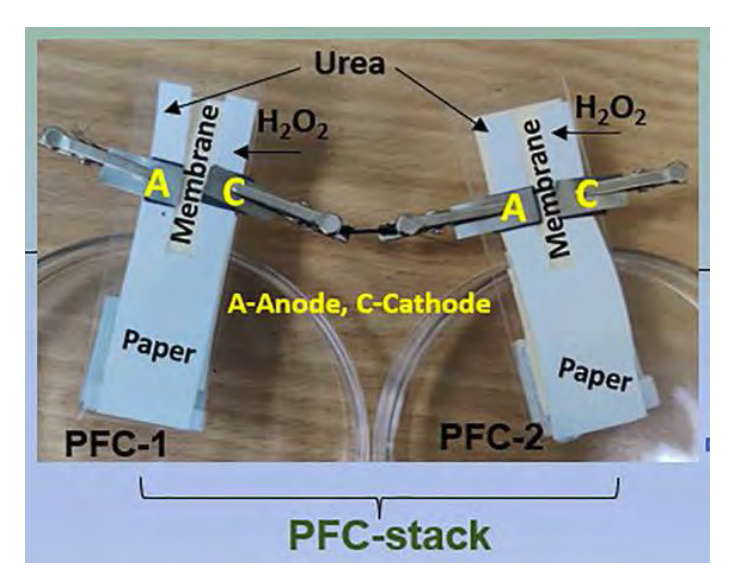


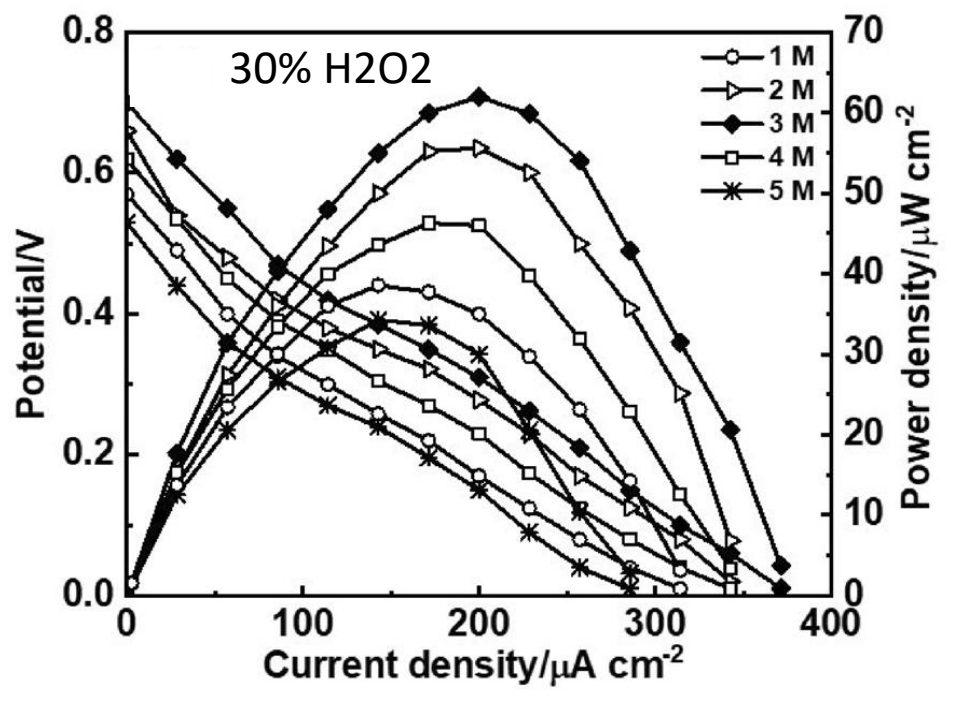
J. Colloid Interfac. Sci. 654 (2024) 36-45





Nano Energy 115 (2023) 108714





J. Appl. Electrochem. 2024 https://doi.org/10.1007/s10800-024-02105-z

Extraterrestrial Electrochemistry – Challenges and Opportunities for Electrolytic in-situ Resource Utilization (ISRU) on Mars

	EARTH	MARS			
Average diurnal surface temperature range (K)	283 to 293	184 to 242			
Average surface pressure (kPa)	101.400	0.636 (seasonally variable from 0.400 to 0.870)			
Surface gravity (m/s²)	9.79	3.71			
Escape velocity (km/s)	11.19	5.03			
Atmospheric composition	Major (vol.%): 78.08% N ₂ , 20.95% O ₂ , >1% H ₂ O (highly variable) Minor: 9340 ppm Ar, 410 ppm CO ₂ , 18.18 ppm Ne, 5.24 ppm He, 1.7 ppm CH ₄ , 1.14 ppm Kr, 0.55 ppm H ₂	<u>Major (vol.%):</u> 95.1% CO ₂ , 2.59% N ₂ , 1.94% Ar, 0.16% O ₂ , 0.06% CO <u>Minor:</u> 210 ppm H ₂ O, 100 ppm NO, 2.5 ppm Ne, 0.85 ppm H-D-O, 0.3 ppm Kr, 0.08 ppm Xe			

Solid oxide electrolyzer to produce O₂ from CO₂

Mg(ClO₄)₂ **brine** electrolyzer that runs at Martian ambient temperatures, with Pb₂Ru₂O_{7-δ} pyrochlore for OER